

Echtzeitverarbeitung

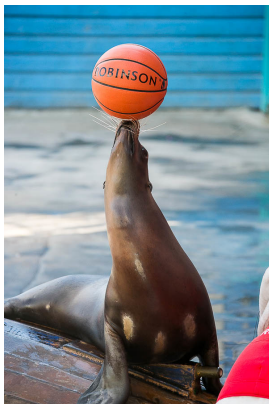
R. Kaiser, K. Beckmann, R. Kröger

(HTTP: <http://www.cs.hs-rm.de/~kaiser>

E-Mail: robert.kaiser@hs-rm.de)

Sommersemester 2022

8. Regelungstechnische Grundlagen



<https://www.stadtreporter.de/hannover/news/wirtschaft/robber-am-ball-ein-tierisch-sportlicher-geburtstag>

Inhalt



8. Regelungstechnische Grundlagen

8.1 Ziele

8.2 Grundbegriffe

8.3 Grundlagen der Systemtheorie

8.4 Entwurf zeitkontinuierlicher Regler

8.5 Unstetige Regelung

8.6 Fuzzy-Regler

Regelungstechnik-Grundlagen



Grundlegende Einführung in die Regelungstechnik

- Grundbegriffe
 - ▶ Signal
 - ▶ System
 - ▶ Steuerung und Regelung
- Grundlagen der Systemtheorie
 - ▶ Differentialgleichung und Übergangsfunktion
 - ▶ Laplace-Transformation und Übertragungsfunktion
- Entwurf zeitkontinuierlicher Regler
 - ▶ Regelkreis
 - ▶ Klassische Regelalgorithmen
 - ▶ Stabilität
- Unstetige Regelung
- Fuzzy-Regler

Grundbegriffe: Signal

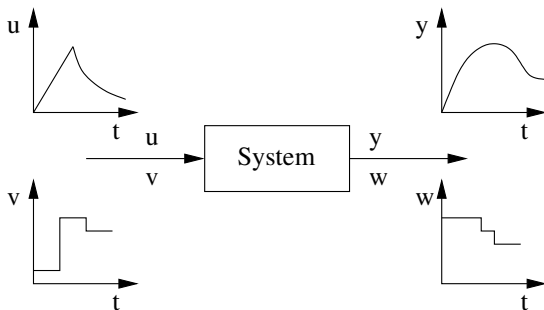


Definition: Signal

Ein *Signal* ist eine sich zeitlich ändernde Größe, durch die eine Information ausgedrückt wird.

- Darstellung als Funktion der Zeit: $s(t)$
- Formen:
 - ▶ Zeit- und wertkontinuierlich: $t, s(t) \in \mathbb{R}$
Beispiel: $s(t) = \sin(2\pi ft)$
 - ▶ Wertkontinuierlich, zeitdiskret: $s(n) \in \mathbb{R}, n \in \mathbb{N}$
 - ▶ Zeit- und wertdiskret: $n, s(n) \in \mathbb{N}$
Beispiel: $s = (1, 3, 4, 4, \dots) \Rightarrow s(0) = 1, s(1) = 3, s(2) = 4, \dots$
→ „Folge von Abtastwerten“
→ Verwendung in digitalen Regelungen

Grundbegriffe: System



- Zuordnung von Eingangs- zu Ausgangssignal
z.B. $u(t) \rightarrow y(t)$
- **Rückwirkungsfrei** → Kein Einfluss von Ausgang auf Eingang

Statisches System



- Der Wert der Ausgangsgröße zur Zeit t wird nur durch den Wert der Eingangsgröße zur selben Zeit t bestimmt:

$$y(t) = S(u(t)) \quad \forall t \in \mathbb{R}$$

→ System „ohne Gedächtnis“

- Beispiele:
 - ▶ Ohmscher Widerstand ($U = R \cdot I$)
 - ▶ Tabelle ($y = \text{Tabelle}[n]$;)
- Math. Beschreibung durch Funktion: $y = S(u)$

Dynamisches System (2)



- Der Wert der Ausgangsgröße zur Zeit t wird nur durch den bisherigen Verlauf der Eingangsgröße bis zur Zeit t bestimmt:

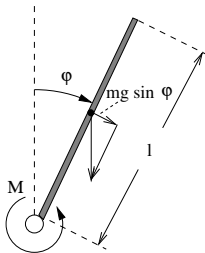
$$y(t) = S(u([-\infty, t]))$$

→ „Vorgeschichte“ geht ein
(Aber *kausal*: Zukunft geht nicht ein)

- Mathematische Beschreibung durch Differentialgleichung
- Beispiel: Inverses Pendel
- Momentengleichgewicht

$$\Rightarrow M = \frac{l}{2} \cdot m \cdot g \cdot \sin \phi - J \cdot \ddot{\phi}$$

- hier: $M(t) \hat{=} u(t)$, $\phi(t) \hat{=} y(t)$



Dynamisches System (2)



Weitere Eigenschaften

- **Linear** → „Verzerrungsfrei“

$$\text{wenn: } y_1(t) = S(u_1([-\infty, t]))$$

$$\text{und: } y_2(t) = S(u_2([-\infty, t]))$$

$$\Rightarrow y_1(t) + y_2(t) = S(u_1([-\infty, t]) + u_2([-\infty, t]))$$

(N.B.: daraus folgt auch: $k \cdot y(t) = S(k \cdot u([-\infty, t])) \forall k \in \mathbb{R}$)

- **Zeitinvariant** → „unabhängig von absoluter Zeit“

$$\text{wenn: } y(t) = S(u([-\infty, t]))$$

$$\text{dann: } y(t + t_0) = S(u([-\infty, t + t_0]))$$

- **Kausal** (s.o.) → „Keine Kenntnis über die Zukunft“

„**LTI-System**“ (*linear time invariant*)

Der Weg zur Differentialgleichung



Vorgehen Allgemein	Am Beispiel inv. Pendel
1. System in Komponenten zerlegen	Gewicht, Trägheit, Drehmoment
2. Physikalische Gesetze für die Komponenten zusammenstellen	$F_g = m \cdot g \cdot \sin \phi$ $\Rightarrow M_g = F_g \cdot r = \frac{m \cdot g \cdot l}{2} \cdot \sin \phi$ $M_t = J \cdot \ddot{\omega} = J \cdot \ddot{\phi}$
3. Beziehungen zwischen den Komponenten aufstellen	Summe aller Momente ist Null: $M - M_g + M_t = 0 \Rightarrow M = M_g - M_t$
4. Gleichungen zu einer DGL zusammenfassen	$M = \frac{m \cdot g \cdot l}{2} \cdot \sin \phi - J \cdot \ddot{\phi}$
5. ggf. DGL linearisieren	für kleine ϕ gilt: $\phi \approx \sin \phi$ $\Rightarrow M \approx \frac{m \cdot g \cdot l}{2} \cdot \phi - J \cdot \ddot{\phi}$

Differentialgleichung: allgemeine Form



Allgemeine Form der Differentialgleichung:

$$\dots + a_3 \cdot \ddot{y} + a_2 \cdot \dot{y} + a_1 \cdot \dot{y} + a_0 \cdot y = \dots + b_3 \cdot \ddot{u} + b_2 \cdot \dot{u} + b_1 \cdot \dot{u} + b_0 \cdot u$$

- Grad der höchsten Ableitung: *Ordnung* des Systems
- Division durch a_0 und $T_i^n := \frac{a_i}{a_0}$, und $K_i^n := \frac{b_i}{a_0}$ ergibt:

$$\Rightarrow \dots + T_3^3 \cdot \ddot{y} + T_2^2 \cdot \dot{y} + T_1 \cdot \dot{y} + y = \dots + K_3^3 \cdot \ddot{u} + K_2^2 \cdot \dot{u} + K_1 \cdot \dot{u} + K_0 \cdot u$$

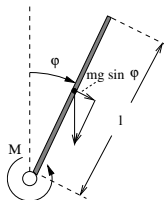
→ Die T_i und K_i haben die Dimension „Zeit“ → **Zeitkonstanten**

Steuerung (1)



Steuerung: offene Wirkungskette, keine Rückkopplung

- Ziel: Eingangssignal $u(t)$ so, dass das gewünschte Ausgangssignal $y(t)$ erzeugt wird
- Beispiel: invertiertes Pendel aufrichten
 - d.h.: $\phi \stackrel{!}{=} 0, \dot{\phi} \stackrel{!}{=} 0$
- Dabei Vorgaben:
 - Möglichst schnell
 - $M(t) \leq M_{max}$
- Gesucht: $M(t)$



$$M = \frac{l}{2} \cdot m \cdot g \cdot \sin \phi - J \cdot \ddot{\phi}$$

Prinzipielles Vorgehen:

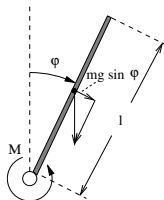
- $M(t)$ vorgeben
- Lösung der Differentialgleichung (s.o.) suchen
- ... nichtlineare DGL 2. Ordnung → heute nicht!

Steuerung (1)



Steuerung: offene Wirkungskette, keine Rückkopplung

- Ziel: Eingangssignal $u(t)$ so, dass das gewünschte Ausgangssignal $y(t)$ erzeugt wird
- Beispiel: invertiertes Pendel aufrichten
 - d.h.: $\phi \stackrel{!}{=} 0, \dot{\phi} \stackrel{!}{=} 0$
- Dabei Vorgaben:
 - Möglichst schnell
 - $M(t) \leq M_{max}$
- Gesucht: $M(t)$



$$M = \frac{l}{2} \cdot m \cdot g \cdot \sin \phi - J \cdot \ddot{\phi}$$

Prinzipielles Vorgehen:

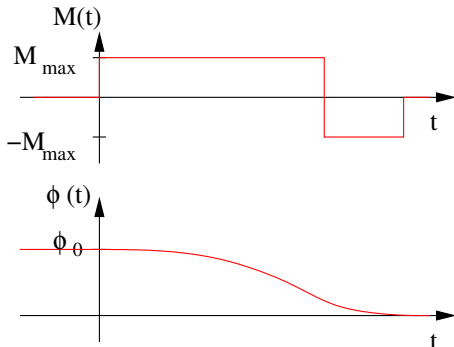
- $M(t)$ vorgeben
- Lösung der Differentialgleichung (s.o.) suchen
- ... nichtlineare DGL 2. Ordnung → heute nicht!

Steuerung (2)



Intuitive Lösung:

- 1 Beschleunigen mit $M = M_{\max}$
- 2 Rechtzeitig abbremsten mit $M = -M_{\max}$



- Wann ist „rechtzeitig“?

Energieerhaltungssatz:

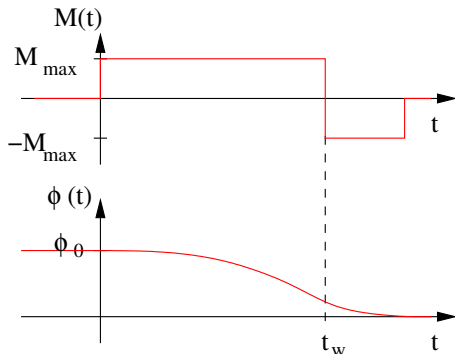
$$\phi_w = \frac{\phi_0}{2} - \frac{mgl}{4M_{\max}} \cdot (1 - \cos\phi_0)$$

Steuerung (2)



Intuitive Lösung:

- 1 Beschleunigen mit $M = M_{\max}$
- 2 Rechtzeitig abbremsen mit $M = -M_{\max}$



- Wann ist „rechtzeitig“?

Energieerhaltungssatz:

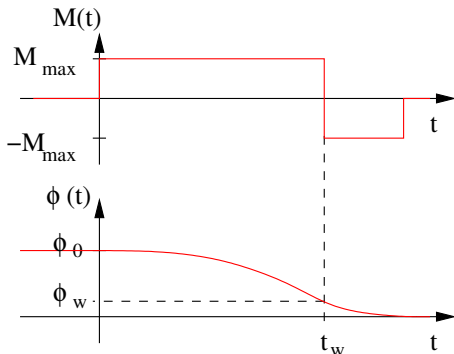
$$\phi_w = \frac{\phi_0}{2} - \frac{mgl}{4M_{\max}} \cdot (1 - \cos\phi_0)$$

Steuerung (2)



Intuitive Lösung:

- 1 Beschleunigen mit $M = M_{\max}$
- 2 Rechtzeitig abbremsen mit $M = -M_{\max}$



- Wann ist „rechtzeitig“?

Energieerhaltungssatz:

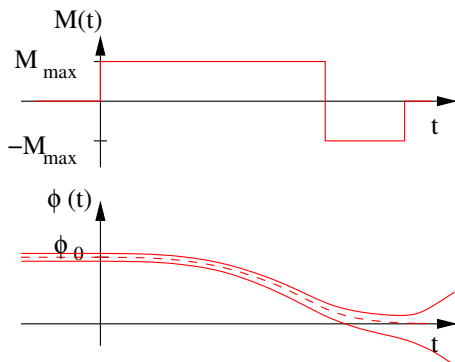
$$\phi_w = \frac{\phi_0}{2} - \frac{mgl}{4M_{\max}} \cdot (1 - \cos\phi_0)$$

Steuerung (3)



Bei Steuerung: Keine Rückkopplung

- Reagiert äußerst empfindlich auf kleinste Störungen bzw. Fehler:



- Beispiel
 - Minimaler Fehler bei ϕ_0
- Aufrichten misslingt (Instabiles System)

Regelung



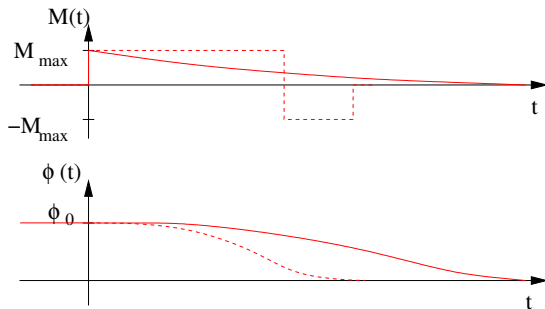
Stellgröße $M(t)$ aus $\phi(t)$ berechnen:

$$M(t) = a \cdot \phi(t) + b \cdot \dot{\phi}(t), \text{ wobei: } a \cdot \phi(0) + b \cdot \dot{\phi}(0) = M_{\max}$$

- Je nach Wahl von a und b unterschiedliches Verhalten

- Gleichgewichtszustand wird erreicht, da

$$M(t) = 0, \text{ nur wenn } \phi(t) \text{ und } \dot{\phi}(t) = 0$$



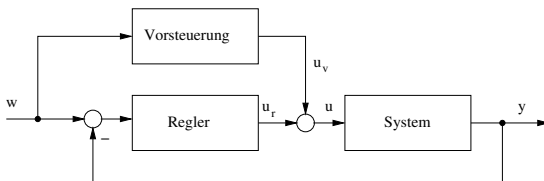
- Nachteil: Vorgang dauert länger

Kombination: Steuern + Regeln



„Vorsteuerung“:

- $u(t) = u_v(t) + u_r(t)$
- Vorsteuerung kann schnell das gewünschte Signal $y(t)$ einstellen
- (kleine) Fehler dabei werden durch die Regelung kompensiert



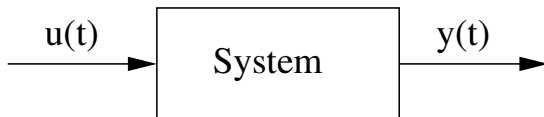
Kombiniert Vorteile von Steuerung und Regelung:

- schnell
- eigenstabil

Grundlagen der Systemtheorie



Allgemein: System



- Eingangssignal $u(t)$
- Ausgangssignal $y(t)$
- Linear, zeitinvariant, kausal, rückwirkungsfrei (s.o)
- Kann durch eine Differentialgleichung beschrieben werden (s.o)

Lösen der Differentialgleichung (1)



Prinzipielles Vorgehen

- gegeben Differentialgleichung (s.o):

$$\dots + T_3^3 \cdot \ddot{y} + T_2^2 \cdot \dot{y} + T_1 \cdot y = \dots + K_3^3 \cdot \ddot{u} + K_2^2 \cdot \dot{u} + K_1 \cdot u + K_0 \cdot u$$

- Rechte Seite = 0 setzen → *homogene DGL*

$$\dots + T_3^3 \cdot \ddot{y} + T_2^2 \cdot \dot{y} + T_1 \cdot y = 0$$

- Ansatz: $y = A \cdot e^{s \cdot t}$ ($\Rightarrow \dot{y} = A \cdot s \cdot e^{s \cdot t}$, $\ddot{y} = A \cdot s^2 \cdot e^{s \cdot t}$, ...)

→ *Charakteristische Gleichung:*

$$\dots + T_3^3 \cdot s^3 + T_2^2 \cdot s^2 + T_1 \cdot s + 1 = 0$$

- Hieraus kann s ermittelt werden → Lösung der homogenen DGL:

$$\Rightarrow y_{hom}(t) = A \cdot e^{s \cdot t}$$

Lösen der Differentialgleichung (2)



- Spezielle Lösung der inhomogenen DGL:

$$\dots + T_3^3 \cdot \ddot{y} + T_2^2 \cdot \dot{y} + T_1 \cdot y = \dots + K_3^3 \cdot \ddot{u} + K_2^2 \cdot \dot{u} + K_1 \cdot u + K_0 \cdot u$$

- Eingangsfunktion $u(t)$ muss bekannt sein
- Anfangsbedingungen (Werte für bestimmte Zeitpunkte) müssen bekannt sein
- Wähle Ansatz für $y_{inh}(t)$ entsprechend der rechten Seite der DGL.
- Gesamtlösung ist dann:

$$y(t) = y_{hom}(t) + y_{inh}(t)$$

- Konstanten können aus Anfangsbedingungen bestimmt werden
- *Keine Panik! Beispiel folgt....*

Lösen der Differentialgleichung (2)



- Spezielle Lösung der inhomogenen DGL:

$$\dots + T_3^3 \cdot \ddot{y} + T_2^2 \cdot \dot{y} + T_1 \cdot y = \dots + K_3^3 \cdot \ddot{u} + K_2^2 \cdot \dot{u} + K_1 \cdot u + K_0 \cdot u$$

- Eingangsfunktion $u(t)$ muss bekannt sein
- Anfangsbedingungen (Werte für bestimmte Zeitpunkte) müssen bekannt sein
- Wähle Ansatz für $y_{inh}(t)$ entsprechend der rechten Seite der DGL.
- Gesamtlösung ist dann:

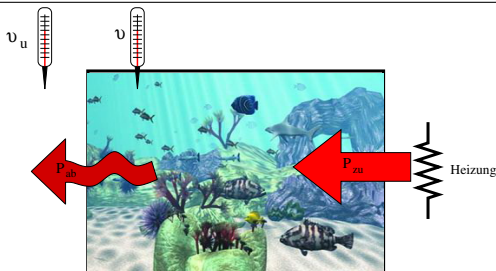
$$y(t) = y_{hom}(t) + y_{inh}(t)$$

- Konstanten können aus Anfangsbedingungen bestimmt werden
- *Keine Panik! Beispiel folgt....*

Beispiel (1)



Hochschule RheinMain



$$\begin{aligned}
 P_{Heiz} &= P_{zu} - P_{ab} \\
 \dot{\theta} &= \frac{P_{Heiz}}{C} = \frac{P_{Heiz}}{c_{H_2O} \cdot m} \\
 P_{ab} &= R_{th} \cdot (\theta - \theta_u) \\
 &= A \cdot K_{Glas} \cdot (\theta - \theta_u)
 \end{aligned}$$

Gegeben ein Aquarium mit:

- Volumen: 250l → Masse $m = 250\text{kg}$
- Oberfläche: $A = 1.5\text{m}^2$
- Temperatur für $t = 0$: $\theta(0) = \text{Umgebungstemperatur } \theta_U = 20^\circ\text{C}$
- Zugeführte Heizleistung für $t \geq 0$: $P_{zu} = 100\text{W}$

Gesucht: Temperaturverlauf $\theta(t)$ für $t \geq 0$

Beispiel (2)



Materialparameter (aus Wikipedia):

- Spezifische Wärmekapazität von Wasser: $c_{H_2O} = 4,187 \cdot 10^3 \frac{J}{kg \cdot K}$
- K-Wert (Wärmedurchgangskoeffizient) von Glas: $K_{Glas} = 5,9 \frac{W}{m^2 \cdot K}$

Aufstellen der DGL:

$$\begin{aligned}
 \dot{\theta} &= \frac{P_{zu} - P_{ab}}{c_{H_2O} \cdot m} \\
 &= \frac{1}{c_{H_2O} \cdot m} \cdot (P_{zu} - A \cdot K_{Glas} \cdot (\theta - \theta_u)) \\
 \Rightarrow \frac{c_{H_2O} \cdot m}{A \cdot K_{Glas}} \cdot \dot{\theta} + \theta &= \frac{P_{zu}}{A \cdot K_{Glas}} + \theta_u \\
 \Rightarrow \text{DGL 1. Ordnung, } T_1 &= \frac{c_{H_2O} \cdot m}{A \cdot K_{Glas}} = 118022,6s
 \end{aligned}$$

Beispiel (3)



- Rechte Seite = 0 setzen → homogene DGL

$$T_1 \cdot \dot{\theta} + \theta = 0$$

- Ansatz: $\theta = \Theta_0 \cdot e^{s \cdot t}$ ($\Rightarrow \dot{\theta} = \Theta_0 \cdot s \cdot e^{s \cdot t}$)

→ Charakteristische Gleichung:

$$\begin{aligned} T_1 \cdot \Theta_0 \cdot s \cdot e^{s \cdot t} + \Theta_0 \cdot e^{s \cdot t} &= 0 \quad | : \Theta_0 \cdot e^{s \cdot t} \\ \Rightarrow T_1 \cdot s + 1 &= 0 \\ \Rightarrow s &= -\frac{1}{T_1} \end{aligned}$$

→ Lösung der homogenen DGL:

$$\theta_{hom} = \Theta_0 \cdot e^{-\frac{t}{T_1}}$$

Beispiel (4)



- Spezielle Lösung der inhomogenen DGL:

$$T_1 \cdot \dot{\theta} + \theta = \theta_u + \begin{cases} \frac{P_{zu}}{A \cdot K_{Glas}} & \text{für } t \geq 0 \\ 0 & \text{für } t < 0 \end{cases}$$

$$\theta_{inh} = \theta_u + \begin{cases} \frac{P_{zu}}{A \cdot K_{Glas}} & \text{für } t \geq 0 \\ 0 & \text{für } t < 0 \end{cases}$$

- Gesamtlösung:

$$\begin{aligned} \theta &= \theta_{hom} + \theta_{inh} \\ &= \Theta_0 \cdot e^{-\frac{t}{T_1}} + \theta_u + \begin{cases} \frac{P_{zu}}{A \cdot K_{Glas}} & \text{für } t \geq 0 \\ 0 & \text{für } t < 0 \end{cases} \end{aligned}$$

Beispiel (5)



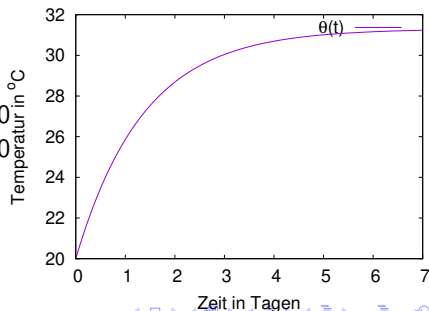
- Anfangsbedingungen: für $t \leq 0$ gilt: $\theta(t) = \theta_u$

$$\Rightarrow 0 = \Theta_0 + \begin{cases} \frac{P_{zu}}{A \cdot K_{Glas}} & \text{für } t \geq 0 \\ 0 & \text{für } t < 0 \end{cases}$$

$$\Rightarrow \Theta_0 = \begin{cases} -\frac{P_{zu}}{A \cdot K_{Glas}} & \text{für } t \geq 0 \\ 0 & \text{für } t < 0 \end{cases}$$

- Ergebnis („Sprungantwort“):

$$\theta = \theta_u + \left(1 - e^{-\frac{t}{\tau_1}}\right) \cdot \begin{cases} \frac{P_{zu}}{A \cdot K_{Glas}} & \text{für } t \geq 0 \\ 0 & \text{für } t < 0 \end{cases}$$

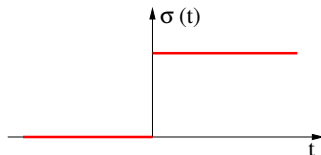


Spezielle Eingangsfunktionen



- Anregung des Systems wird durch eine Eingangsfunktion (auch: „Störfunktion“) beschrieben
- Im vorangegangenen Beispiel: *Sprungfunktion* $\sigma(t)$

$$\sigma(t) = \begin{cases} 0 & \text{für } t < 0 \\ 1 & \text{für } t > 0 \end{cases}$$



(N.B.: für $t = 0$ ist $\sigma(t)$ streng genommen undefiniert)

- Damit: Störfunktion ...

$$\theta_{inh} = \theta_u + \frac{P_{zu}}{A \cdot K_{Glas}} \cdot \sigma(t)$$

- ... und Sprungantwort des Beispielsystems:

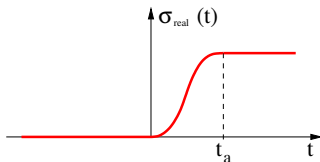
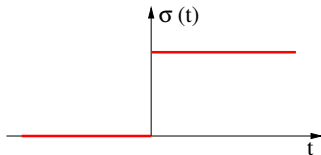
$$\theta = \theta_u + \frac{P_{zu}}{A \cdot K_{Glas}} \cdot \left(1 - e^{-\frac{t}{T_1}}\right) \cdot \sigma(t)$$

Sprungfunktion



Technische Realisierbarkeit

- Unendlich schnelle Werteänderung nicht technisch realisierbar (Reale Signale sind **immer** stetig)



- Realistische Anstiegszeiten t_a
 - ▶ Elektronik: $< 1 \text{ ns}$
 - ▶ Mechanik, Thermodynamik, etc. z.T. wesentlich größer

Bedeutung

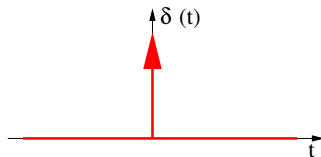
- Sprungantwort eines Systems kann (innerhalb gegebener Grenzen) experimentell ermittelt werden
- Charakterisiert das dynamische Verhalten eines Systems

Impulsfunktion



Impulsfunktion $\delta(t)$ (auch: „Dirac-Impuls“ oder „Dirac-Stoß“)

- $\delta(t) = 0 \quad \forall \quad t \neq 0$
- für $t = 0$: unendlich hoher, unendlich schmaler Impuls
der Fläche 1, d.h.: $\int_{-\infty}^{+\infty} \delta(t) dt = 1$



- 1. Ableitung der Sprungfunktion: $\delta = \dot{\sigma}$

Bedeutung

- Eher theoretisches Konstrukt, technisch nicht realisierbar
- Enthält alle Frequenzen gleichermaßen
- Die „Eins der Laplace-Transformation“ (s.u.)

Laplace-Transformation



Definition

$$\mathcal{L}(y(t))(s) = Y(s) = \int_0^{\infty} y(t) \cdot e^{-st} dt$$

Schreibweise: $Y(s) \bullet \text{---} \circ y(t)$ (\rightarrow „ $Y(s)$ korrespondiert zu $y(t)$ “)

- Umkehrbar eindeutige Abbildung von Funktionen im Zeitbereich in den Bildbereich („Laplace-Raum“) mit s als neuer unabhängiger Variablen (s ist i.A. komplex: $s \in \mathbb{C}$, Dimension: Frequenz (Hz))
- Anwendbar auf Zeitfunktionen, die für $t < 0$ Null sind, d.h.
 $y(t) = y(t) \cdot \sigma(t) \quad \forall t \in \mathbb{R}$
- Berechnung des Integrals ist i.d.R. nicht erforderlich, da es Korrespondenztabelle¹ gibt

Eigenschaften der \mathcal{L} -Transformation



• Linearität, Skalierung und Verschiebung:

$$\text{Überlagerungssatz: } a \cdot u(t) + b \cdot v(t) \quad \circ \text{---} \bullet \quad a \cdot U(s) + b \cdot V(s)$$

$$\text{Ähnlichkeitssatz: } u(a \cdot t) \quad \circ \text{---} \bullet \quad \frac{1}{a} \cdot U\left(\frac{s}{a}\right)$$

$$\text{Verschiebesatz: } u(t - a) \quad \circ \text{---} \bullet \quad e^{-as} \cdot U(s)$$

$$\text{Integration: } \int_0^t u(\tau) d\tau \quad \circ \text{---} \bullet \quad \frac{1}{s} \cdot U(s)$$

• Differentiation:

$$\dot{u}(t) \quad \circ \text{---} \bullet \quad s \cdot U(s) - u(0)$$

$$\ddot{u}(t) \quad \circ \text{---} \bullet \quad s^2 \cdot U(s) - s \cdot u(0) - \dot{u}(0)$$

$$\dddot{u}(t) \quad \circ \text{---} \bullet \quad s^3 \cdot U(s) - s^2 \cdot u(0) - s \cdot \dot{u}(0) - \ddot{u}(0)$$

$$\dots \quad \circ \text{---} \bullet \quad \dots$$

\mathcal{L} -Transformation zum Lösen einer DGL (1)



- Durch die Regel zur Differentiation werden Differentialgleichungen im Zeitbereich zu einfachen Gleichungen im Bildbereich:

$$\begin{aligned} T_1 \cdot \dot{y} + y &= K_0 \cdot u & \circ \longrightarrow \bullet & \quad T_1 \cdot s \cdot Y(s) - y(0) + Y(s) = K_0 \cdot U(s) \\ & \Rightarrow & & \quad Y(s) \cdot (T_1 s + 1) - y(0) = K_0 \cdot U(s) \end{aligned}$$

- bzw. für $y(0) = 0$:

$$\begin{aligned} Y(s) \cdot (T_1 s + 1) &= K_0 \cdot U(s) \\ \Rightarrow \frac{Y(s)}{U(s)} &= \frac{K_0}{T_1 s + 1} =: G(s) \end{aligned}$$

- $G(s)$ heißt *Übertragungsfunktion* des Systems
- $G(s)$ liefert eine vollständige Beschreibung des Systems
(Mit Ausnahme der Anfangszustände)

\mathcal{L} -Transformation zum Lösen einer DGL (2)



- Aquariumsbeispiel (s.o.)

$$T_1 \cdot \dot{\theta} + \theta = K_0 \cdot \sigma(t) + \theta_u$$

(wobei (s.o.) $T_1 = \frac{c_{H_2O} \cdot m}{A \cdot K_{Glas}}$ und $K_0 = \frac{P_{zu}}{A \cdot K_{Glas}}$)

- Substitution: $y(t) := \theta(t) - \theta_u$ ($\Rightarrow \dot{y}(t) = \dot{\theta}(t)$)
- Damit DGL: $T_1 \cdot \dot{y} + y = K_0 \cdot \sigma(t)$

$$\mathcal{L}\text{-Transformation: } \Rightarrow T_1 (sY - y(0)) + Y = K_0 \cdot \frac{1}{s}$$

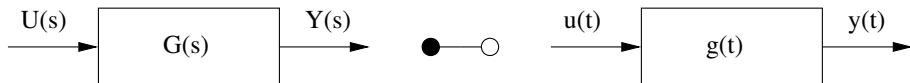
$$y(0) = 0 \Rightarrow Y = \frac{K_0}{T_1} \cdot \frac{1}{s(s + \frac{1}{T_1})}$$

$$\mathcal{L}\text{-Rücktransformation: } \Rightarrow y(t) = \frac{K_0}{T_1} \cdot T_1 \cdot \left(1 - e^{-\frac{t}{T_1}}\right) \cdot \sigma(t)$$

- Rück-Substitution liefert gleiches Ergebnis wie oben:

$$\theta(t) = \theta_u + K_0 \cdot \left(1 - e^{-\frac{t}{T_1}}\right) \cdot \sigma(t)$$

Übertragungsfunktion (1)



- Übertragungsverhalten eines Systems entspricht im Bildbereich einer Multiplikation mit der Übertragungsfunktion

$$\text{(s.o.) } G(s) = \frac{Y(s)}{U(s)} \Rightarrow Y(s) = U(s) \cdot G(s)$$

- Die Impulsfunktion $\delta(t)$ ist das „1-Element“ der Laplace-Transformation, d.h. es gilt: $\delta(t) \rightarrow 1$ (vgl. Korrespondenztabelle)

→ Bei Anregung mit einer Impulsfunktion antwortet das System mit seiner Übertragungsfunktion:

$$\text{Für } u(t) = \delta(t) \text{ gilt: } Y(s) = 1 \cdot G(s) \rightarrow y(t) = g(t)$$

Übertragungsfunktion (2)



- Für die Sprungantwort eines Systems gilt:

$$\sigma(t) \quad \circ \text{---} \bullet \quad \frac{1}{s}$$

$$\Rightarrow \text{für } u(t) = \sigma(t) \text{ gilt:}$$

$$Y(s) = \frac{1}{s} \cdot G(s) \quad \bullet \text{---} \circ \quad y(t) = \int_0^t g(\tau) d\tau$$

- Die Sprungantwort ist das Integral über die Impulsantwort
- Rückschluss auf die Übertragungsfunktion auch ohne „echten“ Dirac-Impuls möglich

Übertragungsfunktion (3)



- Die Übertragungsfunktion eines LTI-Systems lässt sich als Quotient zweier Polynome darstellen:

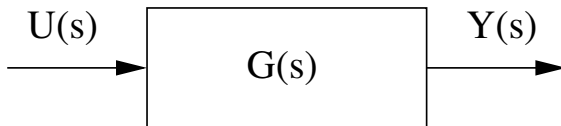
$$\begin{aligned}
 \dots + T_2^2 \ddot{y} + T_1 \dot{y} + y &= \dots + K_2^2 \ddot{u} + K_1 \dot{u} + K_0 u \\
 \mathcal{L} \Rightarrow Y(s) \cdot (\dots + T_2^2 s^2 + T_1 s + 1) &= U(s) \cdot (\dots + K_2^2 s^2 + K_1 s + K_0) \\
 \Rightarrow \frac{Y(s)}{U(s)} = G(s) &= \frac{\dots + K_2^2 s^2 + K_1 s + K_0}{\dots + T_2^2 s^2 + T_1 s + 1}
 \end{aligned}$$

- Dies lässt sich auch in *Nullstellenform* bringen::

$$G(s) = \frac{\dots (s - \mu_2) \cdot (s - \mu_1) \cdot (s - \mu_0)}{\dots (s - \lambda_2) \cdot (s - \lambda_1) \cdot (s - \lambda_0)}$$

- Die λ_i sind die *Pole*, die μ_i die *Nullstellen* der Übertragungsfunktion
- LTI-System kann auch durch Pole und Nullstellen der Übertragungsfunktion charakterisiert werden

Aggregation von Systemen

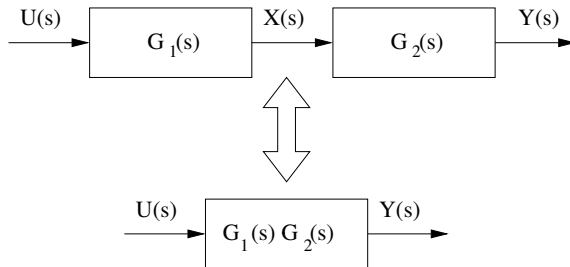


- (s.o.) Verhalten eines LTI-System kann durch seine Übertragungsfunktion $G(s)$ beschreiben werden

$$Y(s) = U(s) \cdot G(s)$$

- LTI-Systeme können als Blöcke kombiniert werden..

Serienschaltung



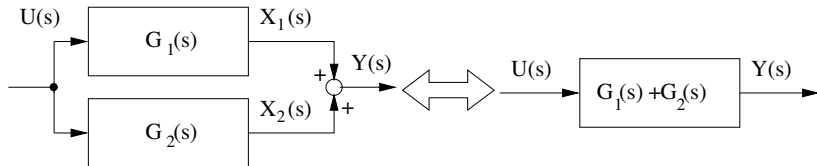
- Wegen Rückwirkungsfreiheit gilt:

$$X(s) = U(s) \cdot G_1(s)$$

$$Y(s) = X(s) \cdot G_2(s)$$

$$\Rightarrow Y(s) = U(s) \cdot G_1(s) \cdot G_2(s)$$

Parallelschaltung



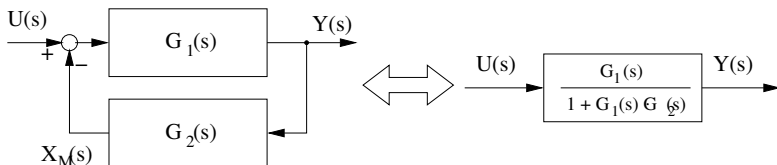
- Addierschaltung:

$$X_1(s) = U(s) \cdot G_1(s)$$

$$X_2(s) = U(s) \cdot G_2(s)$$

$$\Rightarrow Y(s) = U(s) \cdot (G_1(s) + G_2(s))$$

Rückkopplung (Gegenkopplung)



- Grundschtaltung für Regelungen:

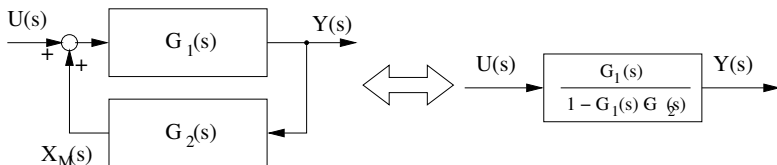
$$X(s) = E(s) \cdot G_1(s)$$

$$E(s) = U(s) - X_M(s)$$

$$X_M(s) = X(s) \cdot G_2(s)$$

$$\Rightarrow Y(s) = U(s) \cdot \frac{G_1(s)}{1 + G_1(s) \cdot G_2(s)}$$

Rückkopplung (Mitkopplung)



- Analog zu Gegenkopplung:

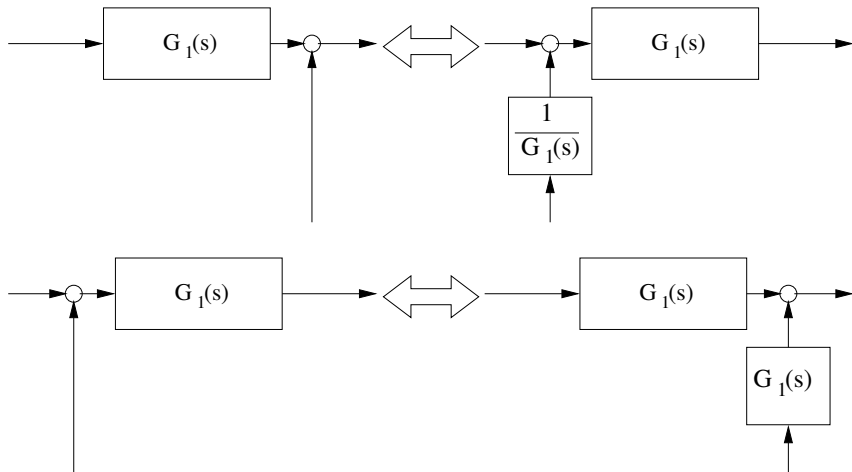
$$X(s) = E(s) \cdot G_1(s)$$

$$E(s) = U(s) + X_M(s)$$

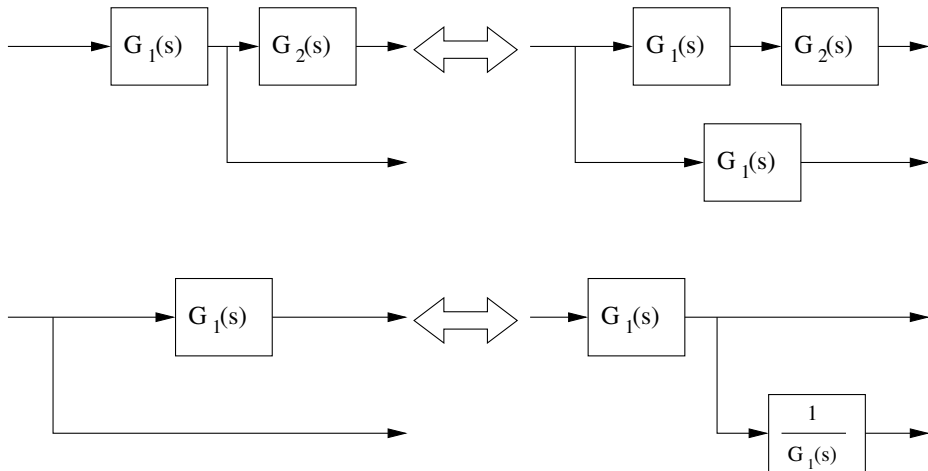
$$X_M(s) = X(s) \cdot G_2(s)$$

$$\Rightarrow Y(s) = U(s) \cdot \frac{G_1(s)}{1 - G_1(s) \cdot G_2(s)}$$

Verschieben von Summationsstellen


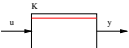
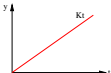





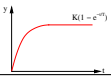
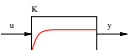
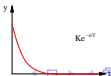
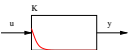


Verschieben von Verzweigungsstellen



Wichtige Übertragungsfunktionen

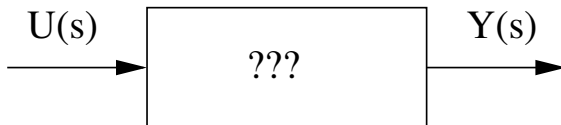


Name	DGL	$G(s)$	SprungAW	Symbol
P-Glied	$y = K \cdot u$	K		
I-Glied	$y = K \cdot \int_0^{\infty} u(\tau) d\tau$	$\frac{K}{s}$		
D-Glied	$y = K \cdot \dot{u}$	$K \cdot s$		
TZ-Glied (T_t -Glied)	$y = K \cdot u(t - T)$	$K \cdot e^{-T \cdot s}$		
VZ ₁ -Glied (PT ₁ -Glied)	$T\dot{y} + y = K \cdot u$	$\frac{K}{1+Ts}$		
VD ₁ -Glied (DT ₁ -Glied)	$T\dot{y} + y = KT\dot{u}$	$\frac{KTs}{1+Ts}$		

Experimentelle Bestimmung der Ü-Fkt. (1)



Genaue physikale Zusammenhänge sind mitunter nicht bekannt



→ Es kann kein math. Modell des Systems aufgestellt werden

→ Vorgehen:

- ▶ Annahme eines (näherungsweise) passenden, parametrisierten Modells
- ▶ Ermitteln der Parameter durch Messungen im Zeitbereich

Experimentelle Bestimmung der Ü-Fkt. (2)



- Viele praktische Systeme können durch ein Übertragungsglied 2. Ordnung (PT₂-Glied) approximiert werden.
- Normierte Übertragungsfunktion eines PT₂-Gliedes:

$$G_n(s) = \frac{1}{\left(\frac{s}{\omega_0}\right)^2 + 2 \cdot \zeta \cdot \left(\frac{s}{\omega_0}\right) + 1} = \frac{\omega_0^2}{s^2 + 2 \cdot \zeta \cdot \omega_0 \cdot s + \omega_0^2}$$

darin sind:

ω_0 : Kennkreisfrequenz (Resonanzfrequenz) des Systems

ζ : Dämpfung des Systems

- Polstellen von $G_n(s)$...:

$$\lambda_{1,2} = -\zeta\omega_0 \pm \omega_0\sqrt{\zeta^2 - 1}$$

... bestimmen das Zeitverhalten

Experimentelle Bestimmung der Ü-Fkt. (3)



- Normierte Sprungantwort

→ Anregung mit $u(t) = \sigma(t)$ • — $\circ U(s) = \frac{1}{s}$:

$$Y_n(s) = G_n(s) \cdot \frac{1}{s} = \frac{\omega_0^2}{s^2 + 2 \cdot \zeta \cdot \omega_0 \cdot s + \omega_0^2} \cdot \frac{1}{s}$$

- Laplace-Rücktransformation (längere Rechnung...)

für $\zeta \leq 1$:

$$y_n(t) = 1 - e^{-\zeta \omega_0 t} \cdot \left(\cos(\sqrt{1 - \zeta^2} \omega_0 t) + \frac{\zeta}{\sqrt{1 - \zeta^2}} \sin(\sqrt{1 - \zeta^2} \omega_0 t) \right)$$

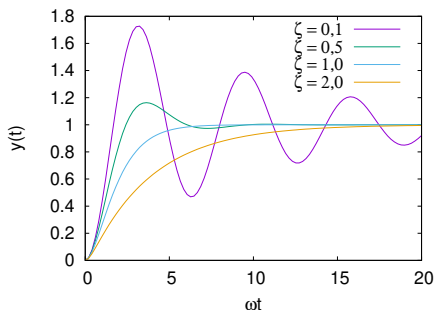
für $\zeta \geq 1$:

$$y_n(t) = 1 - e^{-\zeta \omega_0 t} \frac{1}{2} \cdot \left(\left(1 - \frac{\zeta}{\sqrt{\zeta^2 - 1}}\right) \cdot e^{-\sqrt{\zeta^2 - 1} \omega_0 t} + \left(1 + \frac{\zeta}{\sqrt{\zeta^2 - 1}}\right) \cdot e^{\sqrt{\zeta^2 - 1} \omega_0 t} \right)$$

Experimentelle Bestimmung der Ü-Fkt. (4)



Sprungantwort eines Systems ist i.d.R. gut messbar



Mögliche Fälle:

- $\zeta < 0$: Instabil (System „explodiert“)
- $\zeta = 0$: System schwingt ungedämpft (Mit Frequenz $F = \frac{\omega_0}{2\pi}$)
- $0 < \zeta < 1$: Abklingende Schwingung
- $\zeta = 1$: „Aperiodischer Grenzfall“
- $\zeta > 1$: Strebt gegen Endwert, keine Schwingung

Vorgehen:

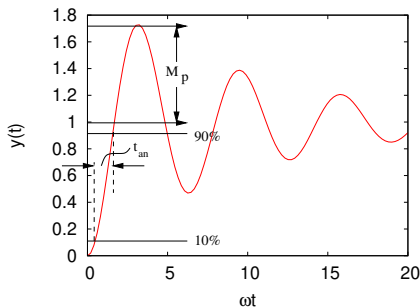
- Messen der Sprungantwort
- Ermitteln der Parameter (ζ , ω_0 , Skalierfaktor)

Oft genügen schon ungenaue Werte als Anhaltspunkte

Experimentelle Bestimmung der Ü-Fkt. (5)



Faustregeln ...



Faustformeln:

(t_s = Ausregelzeit für $\epsilon = 0.05$)

- $\zeta \approx \sin \left(\arctan \left(\frac{1}{\pi} \ln \frac{1}{M_p} \right) \right)$

- $\omega_0 \approx \frac{3}{\zeta \cdot t_s}$

- Wert für $t \rightarrow \infty$: $e_\infty \Rightarrow$
Proportionalfaktor:

$$K = \frac{1}{e_\infty} - 1$$

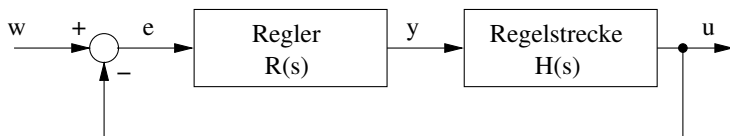
Damit nicht-normierte Übertragungsfunktion:

$$G(s) = \frac{K}{1 + \frac{2\zeta}{\omega_0} s + \frac{1}{\omega_0^2} s^2}$$

Entwurf zeitkontinuierlicher Regler



Allgemeine Reglerstruktur:



Übertragungsfunktion:

$$G(s) = \frac{R(s)H(s)}{1 + R(s)H(s)}$$

Idealziel:

- Entwurf eines Reglers so dass gilt: $e(t) = 0 \forall t$
- Kein Einfluss von Störungen auf Regel- und Messgrößen

Theoretisch erreichbar durch $|R(s)| \rightarrow \infty \Rightarrow G(s) \rightarrow 1$

Gütekriterien



Beschränkung auf erreichbare Forderungen

- Der Regelkreis soll stabil bleiben und nicht schwingen
- Der Regelkreis soll der Führungsgröße $w(t)$ unabhängig von äußeren Störeinflüssen möglichst schnell und genau folgen
(→ er soll gutes „*Führungsverhalten*“ zeigen)

Gütekriterien:

- 1 Stabilität
- 2 Schnelligkeit
- 3 Genauigkeit

Gütekriterien



Beschränkung auf erreichbare Forderungen

- Der Regelkreis soll stabil bleiben und nicht schwingen
- Der Regelkreis soll der Führungsgröße $w(t)$ unabhängig von äußeren Störeinflüssen möglichst schnell und genau folgen
(→ er soll gutes „*Führungsverhalten*“ zeigen)

Gütekriterien:

- 1 Stabilität
- 2 Schnelligkeit
- 3 Genauigkeit

Im Folgenden näher betrachtet

Stabilität



Definition: E/A-Stabilität (Auch: „BIBO^(*)-Stabilität“)

Ein LTI-System heißt E/A-stabil, wenn für verschwindende Anfangswerte $x^{(i)} = 0$ und ein beschränktes Eingangssignal:

$$|w(t)| < w_{\max} \quad \forall t > 0$$

das Ausgangssignal beschränkt bleibt:

$$|u(t)| < u_{\max} \quad \forall t > 0$$

Anders ausgedrückt:

- Ein System ist stabil, wenn zu einer beschränkten Eingangsgröße eine beschränkte Ausgangsgröße gehört

^(*)(BIBO: Bounded Intput Bounded Output)

Asymptotische Stabilität (1)



Definition: Asymptotische Stabilität

Ein LTI-System heißt asymptotisch stabil, wenn seine Ausgangsvariable $u(t)$ mit der Zeit eindeutig nach Null strebt bei einer ebenfalls nach Null strebenden Eingangsvariable $w(t)$:

$$\lim_{t \rightarrow \infty} u(t) = 0 \quad \text{wenn} \quad \lim_{t \rightarrow \infty} w(t) = 0$$

- D.h. ein asymptotisch stabiles System kehrt nach Abklingen einer Störung in seinen Ruhezustand zurück

Bedingung:

- Ein System ist asymptotisch stabil wenn die Pole (=Nullstellen des Nenners der Übertragungsfunktion) einen negativen Realteil haben.

Asymptotische Stabilität (2)



Beispiel PT₂-Glied (s.o.)

- Normierte Übertragungsfunktion:

$$G_n(s) = \frac{\omega_0^2}{s^2 + 2 \cdot \zeta \cdot \omega_0 \cdot s + \omega_0^2} = \frac{\omega_0^2}{(s - \lambda_1)(s - \lambda_2)}$$

Wobei: $\lambda_{1,2} = -\zeta\omega_0 \pm \omega_0\sqrt{\zeta^2 - 1}$ (Polstellen von $G_n(s)$)

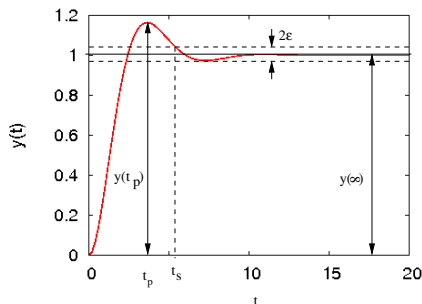
- Instabil für $\zeta < 0$
- Stabil für $0 < \zeta < 1 \Rightarrow \Re\{\lambda_{1,2}\} = -\zeta\omega_0 < 0$
- Stabil für $\zeta > 1$ da $\sqrt{\zeta^2 - 1} < \zeta$

Weitere Kriterien (Hurwitz-, Routh-, Nyquist-, Phasenrand-)
hier nicht behandelt → [Lunze], [Wörn/Brinkschulte]

Dynamisches Verhalten (1)



- Zur Spezifikation von **Stabilität** und **Schnelligkeit**: Betrachte Sprungantwort
- „relative Stabilität“ oder Stabilitätsgüte: Sprungantwort soll möglichst schnell auf stationären Wert gehen
- wichtige Maße: Überschwingweite M_p , Ausregelzeit t_s



- $M_p = \frac{y(t_p)}{y(\infty)}$

→ Überschwingen (overshoot):
 $M_o = M_p - 1$, $\ddot{u}(\%) = 100 \cdot M_o$

Dynamisches Verhalten (2)



Genauigkeit: Integralkriterien, z.B.:

- „ISE“-Kriterium (*integral of squared error*)

$$Q_1 = \int_0^{\infty} (1 - y(t))^2 dt$$

- „IAE“-Kriterium (*integral of absolute error*)

$$Q_2 = \int_0^{\infty} |1 - y(t)| dt$$

Neben den hier vorgestellten, anwendungsunabhängigen Verfahren werden in der Praxis auch anwendungsabhängige Kriterien verwendet (z.B. „Benchmarkbahnen“ bei Robotern)

PID-Regler



- In der Praxis i.d.R. kein Entwurf neuer Reglertypen
- Stattdessen Anpassen eines Standardreglers, so dass Gütekriterien (s.o.) erfüllt sind
- Am häufigsten verwendet: *PID*-Regler:
 - ▶ **P**roportional-Anteil
 - ▶ **I**ntegral-Anteil
 - ▶ **D**ifferenzial-Anteil

PID-Regler: P-Anteil



- P-Anteil: Stellgröße $y(t)$ Proportional zur Regeldifferenz $e(t)$
- Faktor (Verstärkung): K_p

⇒ Übertragungsfunktion:

$$G(s) = \frac{R(s)H(s)}{1 + R(s)H(s)} = \frac{K_p H(s)}{1 + K_p H(s)}$$

- Da für reale Regelstrecke i.A. gilt: $K_p H(s) > 0$ ist $|G(s)| < 1$, also $U(s) \neq W(s)$

→ Problem: Bleibende Regelabweichung

→ Regler **muss** um einen I-Anteil erweitert werden.

PID-Regler: PI-Anteil



- Übertragungsfunktion eines PI-Reglers mit Nachstellzeit T_N :

$$R(s) = K_P \cdot \left(1 + \frac{1}{T_N s} \right)$$

- Keine bleibende Regelabweichung
 - **Aber:** Regelung reagiert langsam
 - Abhilfe: Änderungen der Regeldifferenz $e(t)$ stärker betonen
- Regler um einen D-Anteil erweitern.

PID-Regler und PD-Regler



- Allgemeine Übertragungsfunktion eines PID-Reglers:

$$R(s) = K_P \cdot \left(1 + \frac{1}{T_N s} + T_v s \right)$$

- Falls höhere Verstärkung erforderlich und einfaches Erhöhen von K_p zur Instabilität führt: **PD**-Regler:

$$R(s) = K_P \cdot (1 + T_v s)$$

P & I Qualitativ



P-Glied

- Verändert Stellsignal proportional zu Regeldifferenz („Je größer die Abweichung desto größer die Stellgröße“)
- Verstärkungsfaktor K_p bestimmt Regelgeschwindigkeit („ Je höher desto schneller“)
- Zu hoher Verstärkungsfaktor führt zu Instabilität
- Es bleibt eine dauerhafte Regeldifferenz

I-Glied

- Integriert die Regeldifferenz („Solange Regelabweichung → Stellgröße verändern“)
- Regeldifferenz wird immer ausgeregelt
- Kann zu Instabilität führen

D Qualitativ



D-Glied

- Differenziert die Regeldifferenz
(„Je stärker die Änderung der Regelabweichung desto stärker muss Stellgröße verändert werden“)
- Verbessert i.d.R. Regelgeschwindigkeit und dynamische Regelabweichung
- Verstärkt besonders hochfrequente Anteile (Rauschen)
→ Neigung zum Schwingen

Einstellregeln für PID-Regler (1)



Methode nach Ziegler und Nichols

- ① Zunächst reiner P-Regler mit minimalem K_p
- ② K_p erhöhen, bis ungedämpfte Schwingungen ausgeführt werden
(→ Stabilitätsgrenze und krit. Verstärkung K_{pkr} erreicht)
- ③ Schwingungsdauer T_{kr} bei krit. Verstärkung messen

Dann Regelparameter:

P-Regler	$K_p = 0,5 K_{pkr}$
PI-Regler	$K_p = 0,45 K_{pkr}$ $T_N = 0,85 T_{kr}$
PID-Regler	$K_p = 0,6 K_{pkr}$ $T_N = 0,5 T_{kr}$ $T_V = 0,12 T_{kr}$

Einstellregeln für PID-Regler (2)



Weitere Verfahren

- Kompensationsreglerentwurf
- T-Summen Einstellverfahren
- Einstellregel von Chien, Hrones und Reswick (CHR)

Hier nicht weiter vertieft → [Wörn/Brinkschulte]

Unstetige Regelung



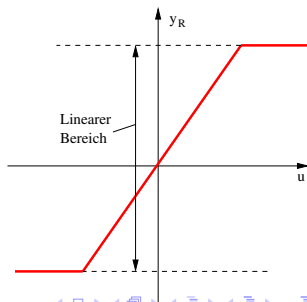
Statische Kennlinie eines Reglers

- Beschreibt das Übertragungsverhalten für statische (d.h. konstante) Signale
- Entsteht aus DGL durch Nullsetzen aller Ableitungen:

$$\begin{aligned} \dots T_2^2 \cdot \ddot{y} + T_1 \cdot \dot{y} + y &= \dots + K_2^2 \cdot \ddot{u} + K_1 \cdot \dot{u} + K_0 \cdot u \\ \Rightarrow y_R &= K_0 \cdot u \end{aligned}$$

Stetige Regler

- Bisher betrachtete Regler:
Statische Kennlinie ist eine stetige Funktion
- Voraussetzung für LTI-System:
statische Kennlinie ist zudem
(zumindest stückweise) linear



Unstetige Regelung

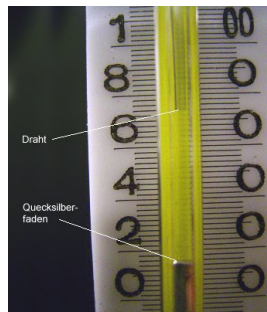
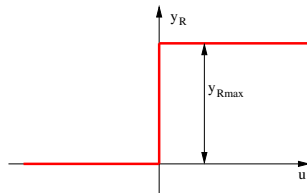


Dagegen unstetiger Regler

- Einfachste Form: *Zweipunktregler*
- Nur zwei diskrete Zustände
 - 1 Regeldifferenz $> 0 \rightarrow$ Ein
 - 2 Regeldifferenz $\leq 0 \rightarrow$ Aus

Technische Realisierung...

- ... ist denkbar einfach ...
(z.B. Bimetallschalter, Kontaktthermometer, Relais, ...)
- ... und damit preiswert.



Zweipunktregler



Einfachster unstetiger Regler

- Wohl der am weitesten verbreitete Regler (da einfach und billig)
- Zahlreiche Anwendungsbeispiele
Kühlschrank, Bügeleisen, Heizkörperventil,
Lichtmaschinen-Reglerschalter, ...

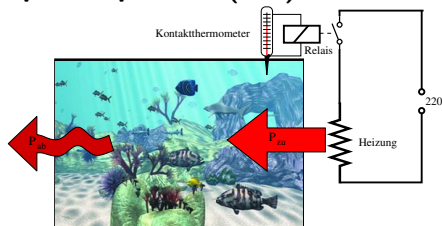
Hauptnachteil:

- Istwert pendelt ständig um den Sollwert
 - Bei einfachen Systemen kein Problem
 - Durch geeignete Maßnahmen (Meßgenauigkeit) lässt sich die Pendelamplitude sehr weit reduzieren
- Dann auch für komplexere Anwendungen nutzbar
- Dann ist aber auch der Preisunterschied zu stetigen Reglern nicht mehr groß

Zweipunktregler ohne Hysterese



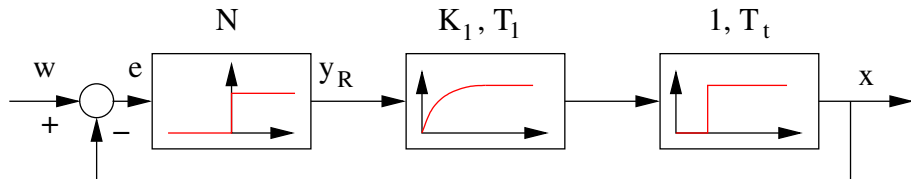
Beispiel: Aquarium (s.o.)



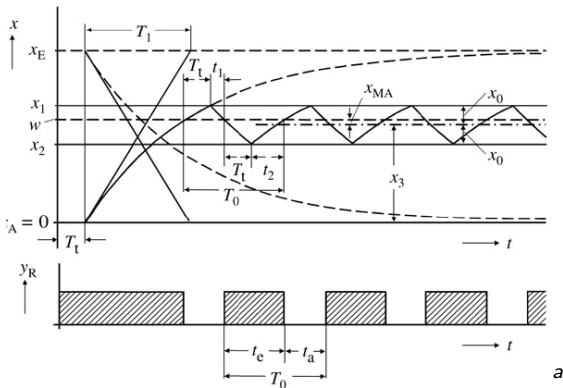
$$x = K_1 \cdot \left(1 - e^{-\frac{t}{T_1}}\right) \cdot \sigma(t)$$

- Modellierung der Thermometer-Trägheit durch Laufzeit T_t
- Annahme: Thermometer-Schaltpunkt in beide Richtungen gleich

Modell:



Temperaturverlauf (1)



- Inbetriebnahme bei $t = 0$
- Solltemperatur w
- Anfangstemperatur x_A
- Endtemperatur x_E

^aAus [Zacher/Reuter]

- Periodische Temperaturschwankung um Mittelwert x_3 ($\neq w$!)
- Amplitude der Schwankung x_0 , Mittelwertabweichung x_{MA}

Temperaturverlauf (2)



Schwankungsamplitude x_0

- x_1, x_2 : oberer/unterer Grenzwert

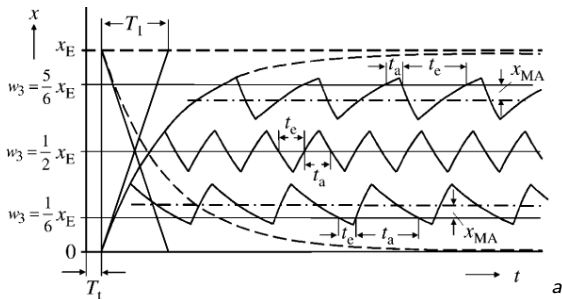
$$\begin{aligned}x_1 &= w + (x_E - w) \cdot (1 - e^{-\frac{T_t}{T_1}}) \quad , \quad x_2 = w \cdot e^{-\frac{T_t}{T_1}} \\ \Rightarrow 2 \cdot x_0 &= x_1 - x_2 = x_E \cdot (1 - e^{-\frac{T_t}{T_1}})\end{aligned}$$

N.B: hängt nicht von w ab

Mittelwert x_3 und Mittelwertabweichung x_{MA}

$$\begin{aligned}x_3 &= \frac{x_1 + x_2}{2} = \frac{1}{2} \cdot (x_E \cdot (1 - e^{-\frac{T_t}{T_1}}) + 2w \cdot e^{-\frac{T_t}{T_1}}) \\ x_{MA} &= w - x_3 = \left(w - \frac{x_E}{2}\right) \cdot (1 - e^{-\frac{T_t}{T_1}})\end{aligned}$$

Temperaturverlauf (3)



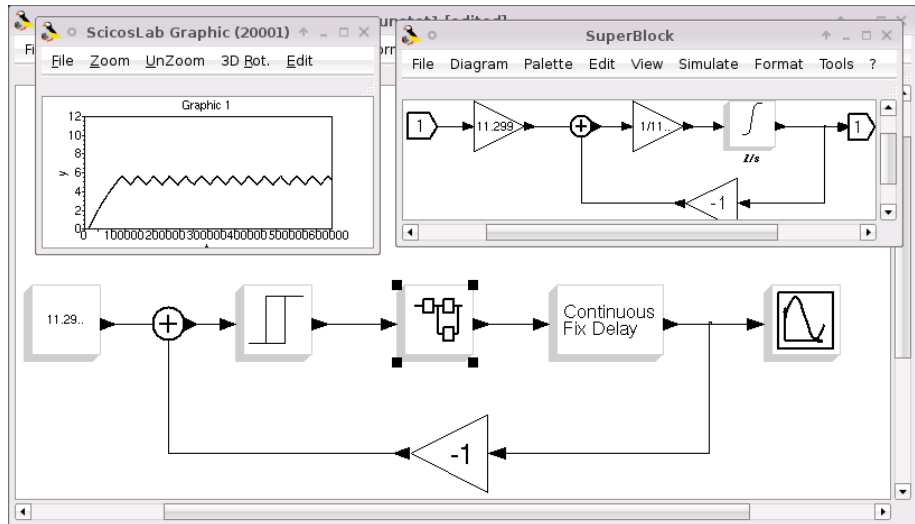
- Kurvenform ist sollwertabhängig
- Für $w = \frac{x_E}{2} \rightarrow x_{MA} = 0$
Symmetrischer Betrieb
- Dann: $t_e = t_a = T_t$

^aAus [Zacher/Reuter]

→ Schwingungsdauer im symmetrischen Betrieb:

$$T_0 = 2t_e + 2t_a = 4T_t$$

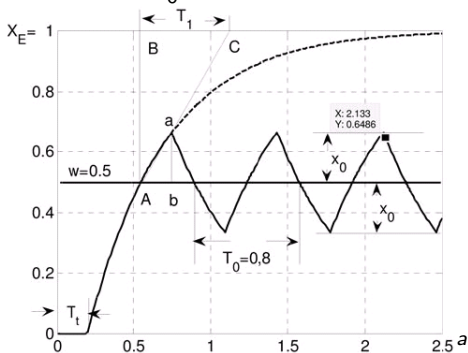
Modell in SciCosLab



Linearisierung



Für kleine x_0 : Annähernd lineare Verläufe



- Dreiecke ABC und Aab sind ähnlich

$$\Rightarrow \frac{\overline{AB}}{\overline{BC}} = \frac{\overline{ab}}{\overline{Ab}} \Rightarrow \frac{\frac{x_E}{2}}{T_1} = \frac{x_0}{T_t}$$

⇒ Faustformel:

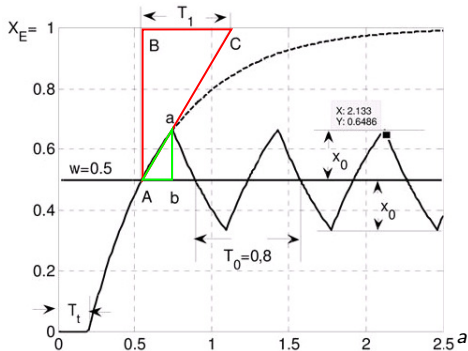
$$x_0 \approx \frac{x_e}{2} \cdot \frac{T_t}{T_1}$$

^aAus [Zacher/Reuter]

Linearisierung



Für kleine x_0 : Annähernd lineare Verläufe



- Dreiecke ABC und Aab sind ähnlich

$$\Rightarrow \frac{\overline{AB}}{\overline{BC}} = \frac{\overline{ab}}{\overline{Ab}} \Rightarrow \frac{x_E}{T_1} = \frac{x_0}{T_t}$$

⇒ Faustformel:

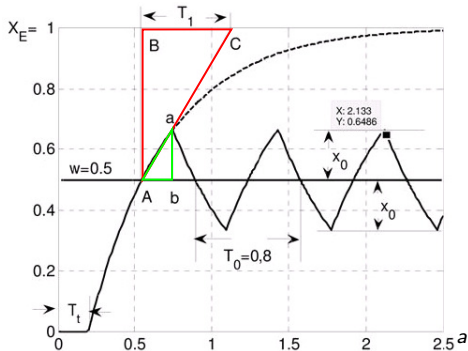
$$x_0 \approx \frac{x_e}{2} \cdot \frac{T_t}{T_1}$$

^aAus [Zacher/Reuter]

Linearisierung



Für kleine x_0 : Annähernd lineare Verläufe



- Dreiecke ABC und Aab sind ähnlich

$$\Rightarrow \frac{\overline{AB}}{\overline{BC}} = \frac{\overline{ab}}{\overline{Ab}} \Rightarrow \frac{\frac{x_E}{2}}{T_1} = \frac{x_0}{T_t}$$

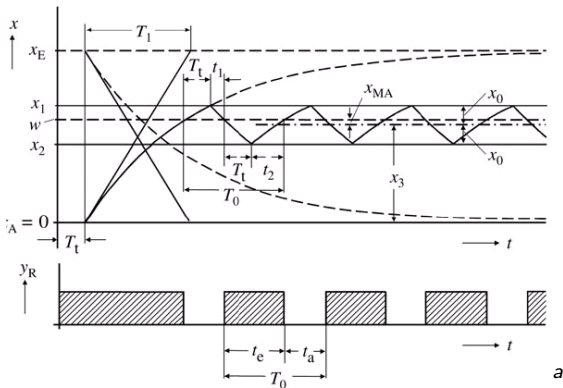
⇒ Faustformel:

$$x_0 \approx \frac{x_e}{2} \cdot \frac{T_t}{T_1}$$

^aAus [Zacher/Reuter]



Schaltfrequenz und Schwingdauer (1)



- Schwingdauer

$$T_0 = 2T_t + t_1 + t_2$$

- Ausserdem $w = x_1 \cdot e^{-\frac{t}{T_1}}$

- und (s.o.):

$$x_1 =$$

$$w + (x_E - w) \cdot (1 - e^{-\frac{T_t}{T_1}})$$

^aAus [Zacher/Reuter]

$$\rightarrow \dots (\text{längere Rechnung}): t_1 = T_1 \cdot \ln \left(\frac{x_E}{w} + \left(1 - \frac{x_E}{w} \right) \cdot e^{-\frac{T_t}{T_1}} \right)$$

Schaltfrequenz und Schwingdauer (2)



- Analog für t_2 :

$$\begin{aligned}
 w - x_2 &= (x_E - x_2)(1 - e^{-\frac{t_2}{T_1}}) \\
 e^{-\frac{t_2}{T_1}} &= 1 - \frac{w - x_2}{x_E - x_2} = \frac{x_E - w}{x_E - x_2} \\
 \Rightarrow t_2 &= R_1 \cdot \ln \frac{x_E - x_2}{x_E - w}
 \end{aligned}$$

- mit (s.o. $x_2 = w \cdot e^{-\frac{T_t}{T_1}}$):

$$t_2 = T_1 \cdot \ln \frac{x_E - w \cdot e^{-\frac{T_t}{T_1}}}{x_E - w}$$

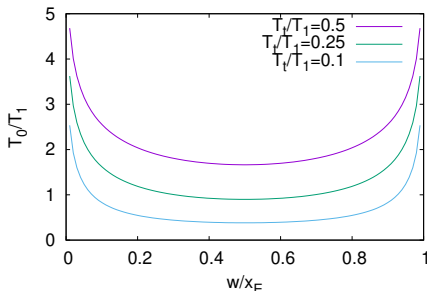
$$\Rightarrow T_0 = 2T_t + T_1 \cdot \ln \left[\left(\frac{1}{1 - \frac{w}{x_E}} - e^{-\frac{T_t}{T_1}} \right) \cdot \left(\frac{x_E}{w} - e^{-\frac{T_t}{T_1}} \right) \right]$$

Schaltfrequenz und Schwingdauer (3)



Abhängigkeit der Schwingdauer vom Sollwert:

- Für $w = \frac{x_E}{2}$ ist unabhängig von T_t Schwingdauer minimal, d.h. die Schaltfrequenz maximal
- Vernünftiger Regelbereich etwa $0,2x_E < w < 0,8x_E$



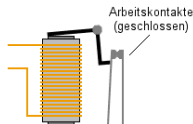
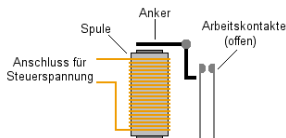
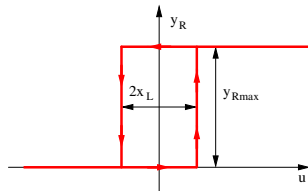
- Für $T_t \rightarrow 0$ wird die Schwankungsbreite 0
- ⇒ Totzeit sollte minimiert werden
- Allerdings wird dann auch $T_0 = 0$, d.h. die Schaltfrequenz wird unendlich
 - Mechanische Kontakte stoßen hier schnell an Grenzen

Zweipunktregler mit Hysterese



Hysterese

- Reale Zweipunktregler sind stets Hysterese-behaftet
- Im Gegensatz zum Idealfall ohne Hysterese **zwei** Schaltschwellen:
 - 1 Einschalten bei $x = +x_L$
 - 2 Abschalten bei $x = -x_L$
- Entsteht z.B. durch Restmagnetisierung bei Relais:

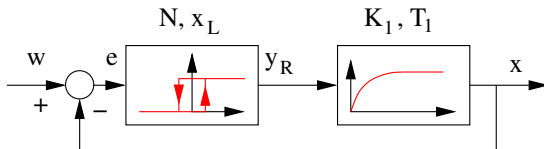


- Einschaltstrom ist höher als Abschaltstrom

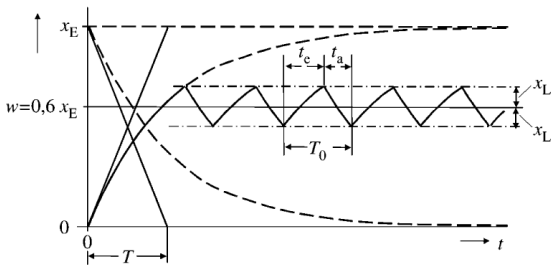
Beispiel: Aquarium (s.o.)



Modell:



Temperaturverlauf:

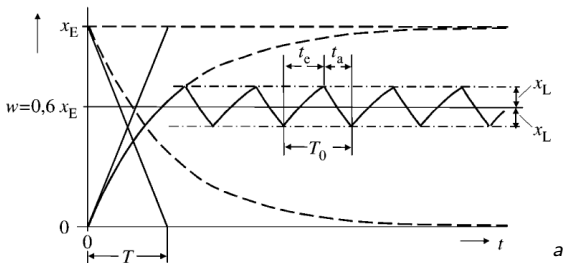


a

- Inbetriebnahme bei $t = 0$
- Anfangstemperatur 0
- Endtemperatur x_E
- Solltemperatur $0 \leq w \leq x_E$

^aAus [Zacher/Reuter]

Temperaturverlauf



→ Periodische Schwingung

- **Symmetrisch** um Sollwert w

→ Amplitude: $2x_L$

^aAus [Zacher/Reuter]

- Schwingdauer und Frequenz:

$$2 \cdot x_L = (x_E - w + x_L) \cdot (1 - e^{-\frac{t_e}{T}})$$

$$\Rightarrow t_e = T \cdot \ln \frac{x_E - w + x_L}{x_E - w - x_L}$$

$$w - x_L = (w + x_L) \cdot e^{-\frac{t_a}{T}}$$

$$\Rightarrow t_a = T \cdot \ln \frac{w + x_L}{w - x_L}$$

⇒ t_e, t_a proportional zu T , für $w = \frac{x_E}{2}$ ist $t_a = t_e$

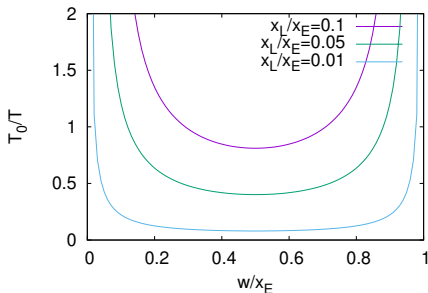
Schwingdauer und Frequenz (1)



- Schwingdauer $T_0 = t_e + t_a$

$$\Rightarrow T_0 = T \cdot \left(\ln \frac{x_E - w + x_L}{x_E - w - x_L} + \ln \frac{w + x_L}{w - x_L} \right)$$

- Für $w = \frac{x_E}{2}$ ist die Schwingdauer minimal, d.h. die Schaltfrequenz maximal
- Vernünftiger Regelbereich etwa $0,2x_E < w < 0,8x_E$



Schwingdauer und Frequenz (2)



- Ziel für möglichst kleine Schwingungsbreite: kleine Hysterese
- Allerdings wird für $x_L \rightarrow 0$ die Schwingungsdauer $T_0 \rightarrow 0$, d.h. die Schwingungsfrequenz $f_0 = \frac{1}{T_0} \rightarrow \infty$
- Die maximale Frequenz ergibt sich bei $w = \frac{x_E}{2}$, dann gilt

$$T_{0min} = T \cdot 2 \cdot \ln \frac{0,5x_E + x_L}{0,5x_E - x_L} = 2T \ln \frac{1 + 2\frac{x_L}{x_E}}{1 - 2\frac{x_L}{x_E}}$$

- Näherung (Reihenentwicklung) für $\frac{2x_L}{x_E} \ll 1$:

$$T_{0min} \approx 2 \cdot T \cdot 2 \cdot 2 \cdot \frac{x_L}{x_E} = 8T \cdot \frac{x_L}{x_E}$$

- Maximale Schaltfrequenz:

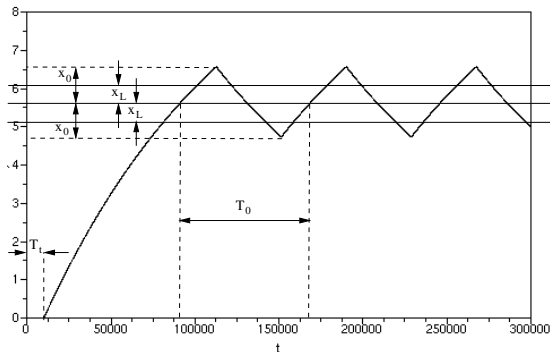
$$f_{0max} \approx \frac{x_E}{8T x_L}$$

- Exakte Werte durch Simulation ...

Simulation



- Simulation in Scicos: Aquarium mit Hysterese ($x_L = 0.5 \cdot x_E$)
und Totzeit $T_t = 10000$

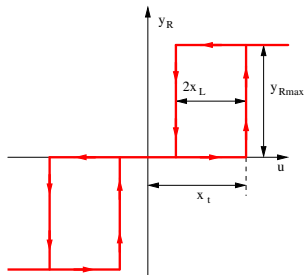


- Daraus abgelesen:
 - $T_0 = 168.100 - 91.490 = 76.600s$
 - $2x_0 = 6,6^\circ C - 4,7^\circ C = 1.9^\circ C$

Dreipunktregler



- Zweipunktregler sind für Stellglieder mit Motorantrieb nicht gut geeignet (keine Möglichkeit zur Richtungsumkehr)
- Daher: *Dreipunktregler*
- Weitere Vorteile:
- Ruhezustand ohne Dauerschwingen ist möglich
- „Abgestufte“ Reaktion



Dreipunktregler: Statische Kennlinie

Motivation



Vorgehensweise bisher:

- Eigenschaften der Regelstrecke bestimmen
(z.B. experimentell aus Sprungantwort oder durch Modellierung)
- Wahl eines Reglers (z.B. PID), Festlegung seiner Anforderungen
(Überschwingen, Ausregelzeit)
- Simulation, Optimierung, Test

Probleme dabei:

- Eigenschaften der Regelstrecke sind nicht immer konstant und nicht einfach zu berücksichtigen
- „Experten“ können das System dennoch beherrschen

→ **Frage:** Wie kann man Expertenwissen auf Regler übertragen?

Regelbasis



Beispiel:

- Der Bremsweg eines Zuges hängt ab von Beladung, Wetter, Steigung ...
- Trotzdem bekommt ein erfahrener Lokführer i.d.R eine Zielbremsung hin (.. und das ohne große Physik-Kenntnisse)
- Würde man den Lokführer fragen, wie er denn den Bremsweg „regelt“, so wäre die Antwort in etwa:

„WENN es nicht regnet UND es warmes Wetter ist, UND viele Passagiere an Bord sind, DANN ...“

- Ziel bei der Entwicklung eines „Expertenreglers“:
eine möglichst vollständige Liste solcher Regeln zusammen- stellen, in der alle vorstellbaren Fälle berücksichtigt sind
- Diese Liste ist die **Regelbasis**

Unscharfe Begriffe



- **Fragen:**

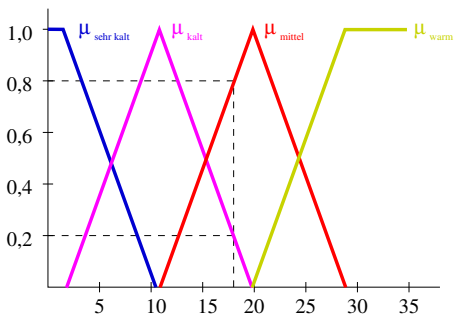
- ▶ was genau ist „warmes Wetter“ (wie viele °C ...)
- ▶ wieviel sind „viele Passagiere“ (genaue Anzahl ...)

- Umgangssprachliche Begriffe wie „warm“, „kalt“, „schnell“ sind zwar verständlich, aber dennoch unscharf (engl.: *fuzzy*)
- Gesucht: math. Methoden zur Verarbeitung unscharfer Begriffe
- Erster Schritt: *Fuzzyfizierung*:
 - ▶ Umwandlung exakter Eingangsgrößen in *linguistische Variablen*
 - ▶ Ermitteln eines Maßes der „Zugehörigkeit“ des Wertes zu unscharfen Begriffen anhand von Zugehörigkeitsfunktionen μ .

Fuzzyfizierung



Beispiel: Temperatur $\theta = 18^\circ\text{C}$:



$$\mu_{\text{sehr kalt}}(\theta) = 0$$

$$\mu_{\text{kalt}}(\theta) = 0,2$$

$$\mu_{\text{mittel}}(\theta) = 0,8$$

$$\mu_{\text{warm}}(\theta) = 0$$

→ „zu 20% kalt und zu 80% mittel“

- $\mu_{\mathbb{A}}$: Zugehörigkeitsgrad zu einer *unscharfen Menge*² \mathbb{A}
- Wird gewöhnlich aus Trapez-/Dreieckformen (s. Beispiel) oder Gaußfunktionen zusammengesetzt

Inferenz



Nächster Schritt: Verarbeitung *Inferenz* der linguistischen Variablen

- Anwenden der Regelbasis auf die „fuzzifizierten“ Eingangsgrößen
- Aus mehr oder weniger erfüllten Prämissen der Regeln („WENNUND ...“) ergeben sich Folgerungen (Konklusionen) („...DANN....“)
- Diese können sich teilweise widersprechen
- Auch hier ergeben sich unscharfe Größen:
 - ▶ Folgerungen sind meist nicht zu 100% erfüllt
 - ▶ „Erfülltheitsgrad“ als Maß der Wirksamkeit
- Inferenz umfasst drei Schritte:
 - ① *Aggregation*: Bestimmen des Erfülltheitsgrades der Prämisse
 - ② *Implikation*: Bestimmen des Erfülltheitsgrades der Konklusion
 - ③ *Akkumulation*: Zusammenfassen der Ergebnisse aus allen Regeln

Aggregation



- Die Regelbasis besteht aus Prämissen und zugeordneten Konklusionen:

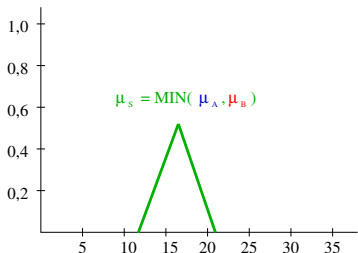
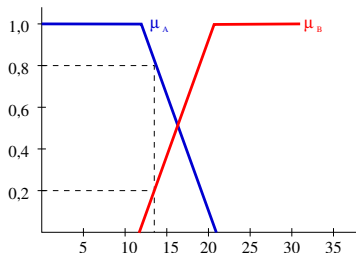
Regel Nr.	Prämisse	Konklusion
1	WENN ... UND ...	DANN
2	WENN ... ODER ...	DANN
3	WENN NICHT ...	DANN
...

- Aggregation: Anwenden der Prämissen auf linguistische Variablen
- Fragen:
 - ▶ Wie bildet man UND- und ODER-Verknüpfungen linguistischer Variablen?
 - ▶ Was ist das „Gegenteil“ (NICHT) einer linguistischen Variablen?

UND: Schnittmenge



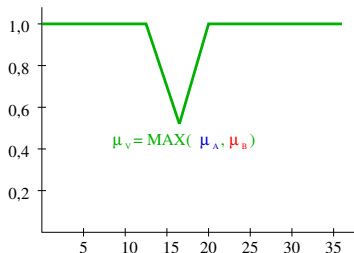
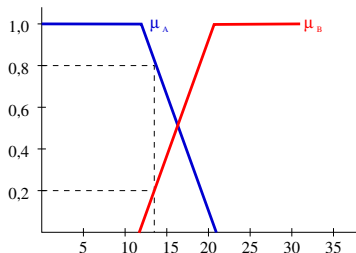
- Die Schnittmenge μ_S zweier unscharfer Mengen³ μ_A und μ_B entspricht der logischen UND-Verknüpfung
- wird als *t-Norm* ($\mu_A \text{ UND } \mu_B$) bezeichnet
- Entspricht dem Minimum-Operator: $\mu_S = \text{MIN}(\mu_A, \mu_B)$:



ODER: Vereinigungsmenge



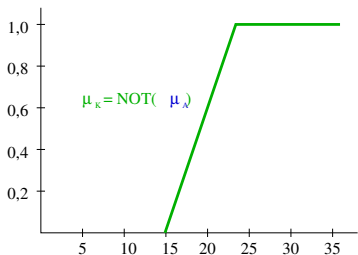
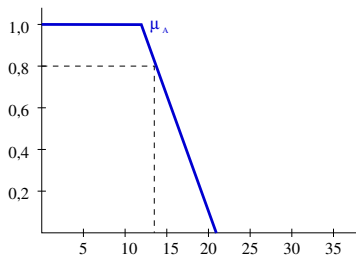
- Die Vereinigungsmenge μ_V zweier unscharfer Mengen μ_A und μ_B entspricht der logischen ODER-Verknüpfung
- wird als *t-CoNorm* ($\mu_A \text{ ODER } \mu_B$) bezeichnet
- Entspricht dem Maximum-Operator: $\mu_V = \text{MAX}(\mu_A, \mu_B)$:



NICHT: Komplementärmenge



- Die Komplementärmenge $\mu_{\mathbb{K}}$ einer unscharfen Menge $\mu_{\mathbb{A}}$ entspricht dem logischen NICHT-Operator
- Entspricht der Subtraktion von 1: $\mu_{\mathbb{K}} = NOT(\mu_{\mathbb{A}}) = 1 - \mu_{\mathbb{A}}$:



Implikation



- Regeln der Regelbasis liefern für jeder Prämisse wiederum linguistische Variablen als Ergebnis
- Diese werden mit dem Erfülltheitsgrad der Prämisse gewichtet
- Zu betrachten: alle *aktiven Regeln*: Alle Regeln mit einem Erfülltheitsgrad > 0
- Beispiel: Regelbasis:

Regel Nr.	Prämisse	Konklusion
1	WENN e_1 ist negativ UND e_2 ist null	DANN y ist klein
2	WENN e_1 ist null UND e_2 ist null	DANN y ist mittel

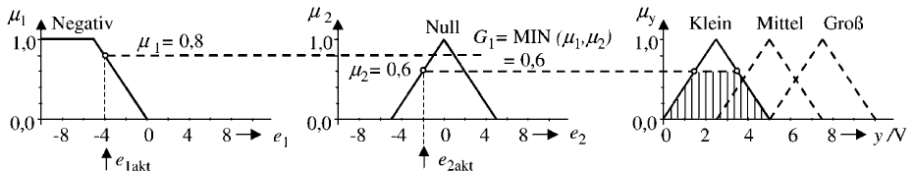
Implikation: Beispiel



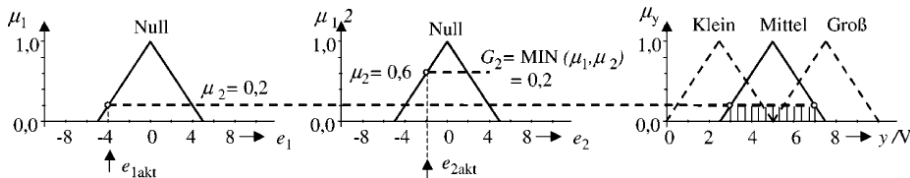
WENN-Teil

DANN-Teil

Regel 1:



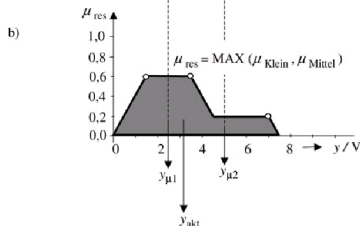
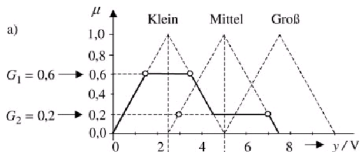
Regel 2:



Akkumulation



a) Jede aktive Regel liefert eine unscharfe Ergebnismenge



b) Ergebnismengen werden durch ODER-Verknüpfung zu einer unscharfen Vereinigungsmenge zusammengefaßt

^aAus [Zacher/Reuter]

Defuzzifizierung (1)



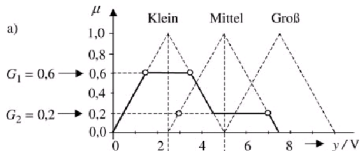
- Ergebnis der Inferenz: unscharfe Menge („Fläche im Diagramm“)
- Defuzzifizierung: daraus einen scharfen Wert ermitteln
- Verschiedene Methoden sind möglich, meist wird mit der Flächenschwerpunkt- oder COG⁵-Methode gearbeitet
- Flächenschwerpunkt der unscharfen Menge $\mu_{res}(y)$:

$$y_{akt} = \frac{\int_a^b y \cdot \mu_{res}(y) dy}{\int_a^b \mu_{res}(y) dy}$$

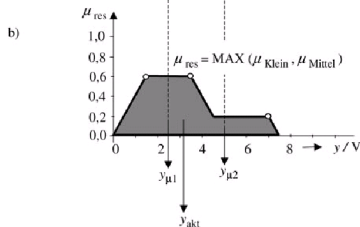
Defuzzifizierung (2)



- Im Beispiel: Fläche besteht aus Rechtecken und Dreiecken



→ einfach zu berechnen:



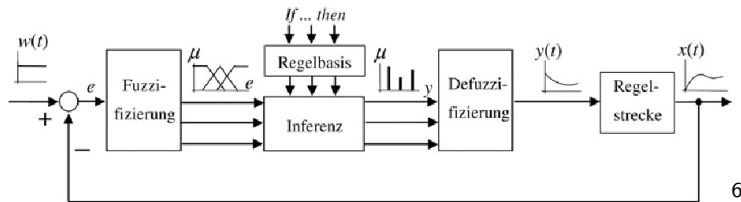
$$\begin{aligned}
 y_{akt} &= \frac{G_1 \cdot y_{\mu 1} + G_2 \cdot y_{\mu 2}}{G_1 + G_2} \\
 &= \frac{0,6 \cdot 2,5 + 0,2 \cdot 5}{0,6 + 0,2} \\
 &= 3,125
 \end{aligned}$$

^aAus [Zacher/Reuter]

Test des Reglers



Aufbau eines Regelkreises mit Fuzzy-Regler:



- Ein Fuzzy-Regler muss in der Regel getestet, evtl. auch iterativ nachgebessert werden
- Erst hier zeigt sich, ob die Regelbasis brauchbar ist
- Hierzu können Simulationen in MATLAB/ScicosLab hilfreich sein

Eigenschaften von Fuzzy-Reglern



- Im Vergleich zu „klassischen“ Reglern sind Fuzzy-Regler ...
 - ▶ .. robust: behalten stabiles Verhalten, auch bei Änderungen der Regelstreckenparameter
 - ▶ .. mit weniger Aufwand zu entwickeln
- Typische Einsatzgebiete:
 - ▶ Haushaltsgeräte
 - ▶ Kraftfahrzeuge
 - ▶ Medizingeräte

Fuzzy-Beispiel: Temperaturregelung



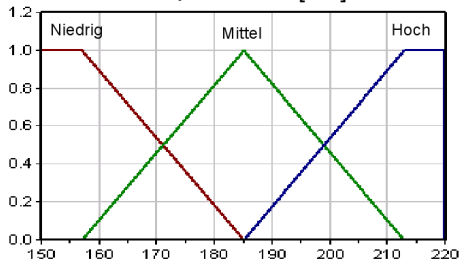
- Ein befragter Experte beschreibt die Temperatur X eines Ofens mit den Begriffen „niedrig“, „mittel“ und „hoch“
- Der interessierende Temperaturbereich ist: $150^{\circ}\text{C} \leq X \leq 220^{\circ}\text{C}$
- Für eine effizientere Regelung soll auch die Temperaturänderung \dot{X} erfasst werden
- Für diesen „Temperaturtrend“ werden die Begriffe „fallend“, „gleichbleibend“ und „steigend“ definiert
- Der interessierende Bereich ist dabei: $-10\frac{^{\circ}\text{C}}{\text{s}} \leq \dot{X} \leq +10\frac{^{\circ}\text{C}}{\text{s}}$
- Nach Befragung des Experten werden für die Heizleistung Y die Begriffe „sehr niedrig“, „niedrig“, „mittel“, „hoch“ und „sehr hoch“ definiert.

Fuzzy-Beispiel: Fuzzyfizierung (1)



Unscharfe Mengen für:

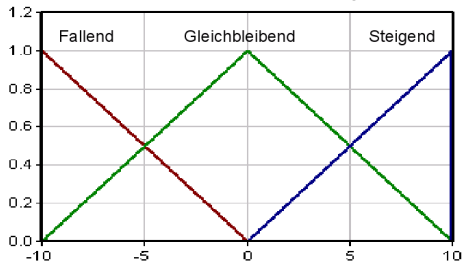
Temperatur $X[^\circ\text{C}]$



• z.B.: $X = 180^\circ\text{C}$

- $\mu_{\text{niedrig}}(X) = 0,2$
- $\mu_{\text{mittel}}(X) = 0,8$
- $\mu_{\text{hoch}}(X) = 0$

Temperaturtrend $\dot{X}[\frac{^\circ\text{C}}{\text{s}}]$



• z.B.: $\dot{X} = -5 \frac{^\circ\text{C}}{\text{s}}$

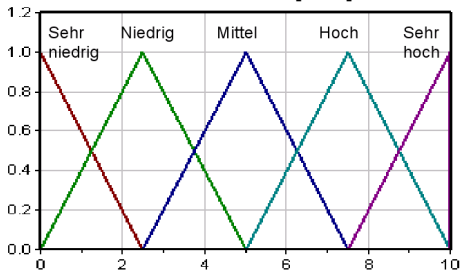
- $\mu_{\text{fallend}}(\dot{X}) = 0,5$
- $\mu_{\text{gleichbleibend}}(\dot{X}) = 0,5$
- $\mu_{\text{steigend}}(\dot{X}) = 0$

Fuzzy-Beispiel: Fuzzyfizierung (2)



Unscharfe Menge für:

Heizleistung Y [kW]



• z.B.: $Y = 6 \text{ kW}$

→ $\mu_{\text{sehrniedrig}}(Y) = 0$

→ $\mu_{\text{niedrig}}(Y) = 0$

→ $\mu_{\text{mittel}}(Y) = 0,6$

→ $\mu_{\text{hoch}}(Y) = 0,4$

→ $\mu_{\text{sehrhoch}}(Y) = 0$

Als nächstes: Regelbasis aufstellen

- Durch Expertenbefragung
- Je nachdem, welchen Experten man fragt können die Regeln unterschiedlich ausfallen
- Erst ein Praxistest zeigt, ob die Regelbasis etwas taugt

Fuzzy-Beispiel: Regelbasis



Regel Nr.	Prämisse	Konklusion
1	WENN X niedrig UND \dot{X} fallend	DANN Y sehr hoch
2	WENN X niedrig UND \dot{X} gleich	DANN Y hoch
3	WENN X niedrig UND \dot{X} steigend	DANN Y mittel
4	WENN X mittel UND \dot{X} fallend	DANN Y mittel
5	WENN X mittel UND \dot{X} gleich	DANN Y mittel
6	WENN X mittel UND \dot{X} steigend	DANN Y mittel
7	WENN X hoch UND \dot{X} fallend	DANN Y mittel
8	WENN X hoch UND \dot{X} gleich	DANN Y niedrig
9	WENN X hoch UND \dot{X} steigend	DANN Y sehr niedrig

- Beispiel: $X = 180^\circ\text{C}$, $\dot{X} = -5 \frac{^\circ\text{C}}{\text{s}}$

→ Aktive Regeln: 1,2,4,5

Fuzzy-Beispiel: Inferenz (1)



Für alle aktiven Regeln: Schnittmenge bilden

Beispiel wieder: $X = 180^{\circ}\text{C}$, $\dot{X} = -5 \frac{^{\circ}\text{C}}{\text{s}}$

Regel Nr.	Prämisse	Konklusion
1	WENN X niedrig UND \dot{X} fallend	DANN Y sehr hoch
2	WENN X niedrig UND \dot{X} gleich	DANN Y hoch
4	WENN X mittel UND \dot{X} fallend	DANN Y mittel
5	WENN X mittel UND \dot{X} gleich	DANN Y mittel

Fuzzy-Beispiel: Inferenz (1)



Für alle aktiven Regeln: Schnittmenge bilden

Beispiel wieder: $X = 180^{\circ}\text{C}$, $\dot{X} = -5 \frac{^{\circ}\text{C}}{\text{s}}$

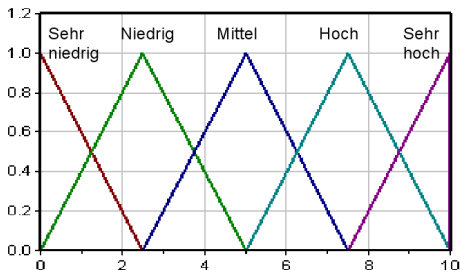
Regel Nr.	Prämisse	Konklusion
1	$\text{MIN}(0.2, 0.5) = 0.2$	DANN Y sehr hoch
2	$\text{MIN}(0.2, 0.5) = 0.2$	DANN Y hoch
4	$\text{MIN}(0.8, 0.5) = 0.5$	DANN Y mittel
5	$\text{MIN}(0.8, 0.5) = 0.5$	DANN Y mittel

Fuzzy-Beispiel: Inferenz (2)



Durchführen der Inferenz

(Beispiel immer noch: $X = 180^{\circ}\text{C}$, $\dot{X} = -5 \frac{^{\circ}\text{C}}{\text{s}}$)



• z.B.: $Y = 6\text{kW}$

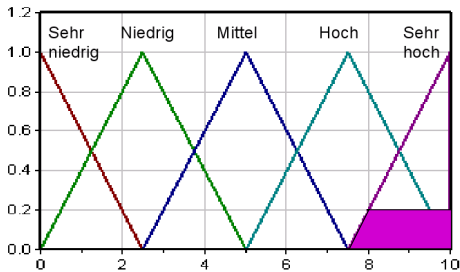
- $\mu_{\text{sehrhoch}}(Y) = 0,2$
- $\mu_{\text{hoch}}(Y) = 0,2$
- $\mu_{\text{mittel}}(Y) = 0,5$
- $\mu_{\text{mittel}}(Y) = 0,5$

Fuzzy-Beispiel: Inferenz (2)



Durchführen der Inferenz

(Beispiel immer noch: $X = 180^\circ\text{C}$, $\dot{X} = -5 \frac{^\circ\text{C}}{\text{s}}$)



• z.B.: $Y = 6\text{kW}$

$$\rightarrow \mu_{\text{sehrhoch}}(Y) = 0,2$$

$$\rightarrow \mu_{\text{hoch}}(Y) = 0,2$$

$$\rightarrow \mu_{\text{mittel}}(Y) = 0,5$$

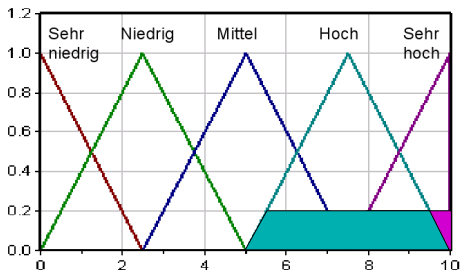
$$\rightarrow \mu_{\text{mittel}}(Y) = 0,5$$

Fuzzy-Beispiel: Inferenz (2)



Durchführen der Inferenz

(Beispiel immer noch: $X = 180^\circ\text{C}$, $\dot{X} = -5 \frac{^\circ\text{C}}{\text{s}}$)



• z.B.: $Y = 6\text{kW}$

$$\rightarrow \mu_{\text{sehrhoch}}(Y) = 0,2$$

$$\rightarrow \mu_{\text{hoch}}(Y) = 0,2$$

$$\rightarrow \mu_{\text{mittel}}(Y) = 0,5$$

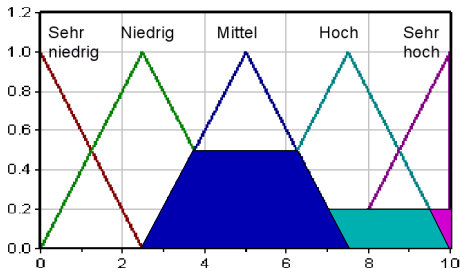
$$\rightarrow \mu_{\text{mittel}}(Y) = 0,5$$

Fuzzy-Beispiel: Inferenz (2)



Durchführen der Inferenz

(Beispiel immer noch: $X = 180^{\circ}\text{C}$, $\dot{X} = -5 \frac{^{\circ}\text{C}}{\text{s}}$)



• z.B.: $Y = 6\text{kW}$

→ $\mu_{\text{sehrhoch}}(Y) = 0,2$

→ $\mu_{\text{hoch}}(Y) = 0,2$

→ $\mu_{\text{mittel}}(Y) = 0,5$

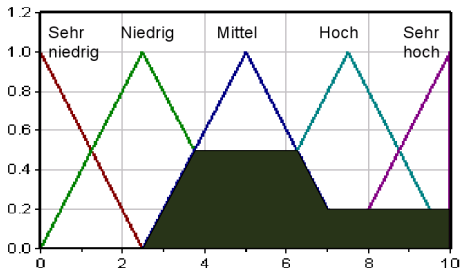
→ $\mu_{\text{mittel}}(Y) = 0,5$

Fuzzy-Beispiel: Inferenz (2)



Durchführen der Inferenz

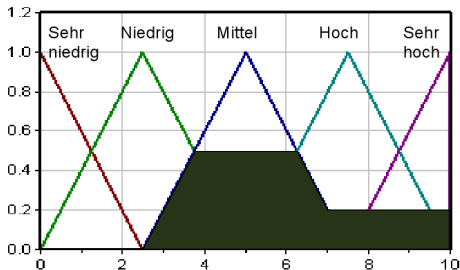
(Beispiel immer noch: $X = 180^{\circ}\text{C}$, $\dot{X} = -5 \frac{^{\circ}\text{C}}{\text{s}}$)



• z.B.: $Y = 6\text{kW}$

- $\mu_{\text{sehrhoch}}(Y) = 0,2$
- $\mu_{\text{hoch}}(Y) = 0,2$
- $\mu_{\text{mittel}}(Y) = 0,5$
- $\mu_{\text{mittel}}(Y) = 0,5$

Fuzzy-Beispiel: Defuzzifizierung



- Flächenschwerpunkt nach:

$$Y_{akt} = \frac{\int_a^b Y \cdot \mu_{res}(Y) dY}{\int_a^b \mu_{res}(Y) dY}$$

- Hier: $Y_{akt} \approx 5,75$

Fuzzy-Beispiel: Vergleich mit PID-Regler

